

**ОПТИМИЗАЦІЯ ЛОГІЧЕСКОЇ СХЕМЫ
МІКРОПРОГРАММНОГО АВТОМАТА МИЛИ С
МАКСИМАЛЬНИМ КОДИРОВАННІМ НАБОРОВ
МІКРООПЕРАЦІЙ**

Баркалов А.А., Ковалев С.А., Баркалов А.А.

Кафедра ЭВМ, ДНТУ

barcalov@cs.dgtu.donetsk.ua

Abstract

Barkalov A.A., Kovalev S.A., Barkalov A.A. The optimization of logic circuit of Mealy automaton with maximal encoding of microoperations. The method of reduction of hardware in the Mealy automaton is proposed. The method is based on the usage of converter of the codes of the sets of microoperations in the codes of the automaton's states. An example of application of proposed method is given.

Введение

Устройство управления цифровой системы может быть представлено как микропрограммный автомат (МПА) Мили, схема которого реализуется на программируемых логических устройствах (ПЛУ), таких как ПЛМ, ПЛИС, ПЗУ [1,2]. Для уменьшения стоимости схемы используются различные методы кодирования наборов микроопераций [3], что порождает двухуровневые схемы автоматов [4]. Недостаток этих методов – необходимость формирования дополнительных переменных, кодирующих наборы микроопераций (МО), что увеличивает требования к числу выходов ПЛУ. В настоящей работе предлагается использовать преобразователь кодов наборов МО в коды состояний автомата, что позволяет уменьшить число БИС в схеме МПА при максимальном кодировании наборов микроопераций [3].

Пусть МПА Мили задан прямой структурной таблицей (ПСТ) со столбцами: a_m – исходное состояние, $a_m \in A$, где $A = \{a_1, \dots, a_M\}$ – множество состояний МПА; $K(a_m)$ – код состояния $a_m \in A$ разрядности $R = \lceil \log_2 M \rceil$, для кодирования используются внутренние переменные, образующие множество $T = \{T_1, \dots, T_R\}$; a_s – состояние перехода; $K(a_s)$ – код состояния $a_s \in A$, X_R – входной набор, определяющий переход $\langle a_m, a_s \rangle$ и равный конъюнкции некоторых элементов (или их отрицаний) множества логических условий $X = \{x_1, \dots, x_L\}$; Y_h – выходной сигнал, формируемый на переходе $\langle a_m, a_s \rangle$, $Y_h \in Y$, где $Y = \{y_1, \dots, y_N\}$ – множество микроопераций; Φ_h – набор функций возбуждения регистра памяти RG автомата, принимающих единичное значение для переключения RG из $K(a_m)$ в $K(a_s)$, $\Phi_h \in \Phi = \{\phi_1, \dots, \phi_N\}$; $h = 1, \dots, N$ – номер перехода. При максимальном кодировании наборов МО каждому набору Y_f ($f = 1, \dots, F$) ставится в соответствие двоичный код $K(Y_f)$ разрядности $Q = \lceil \log_2 F \rceil$. Для кодирования наборов МО используются дополнительные переменные, образующие множество $Z = \{z_1, \dots, z_Q\}$. Применение этого метода порождает двухуровневую схему (Рис.1), называемую в дальнейшем РМ-автомат.

В РМ-автомате Р-подсхема реализует систему функций

$$\Phi = \Phi(T, X), \quad (1)$$

$$Z = Z(T, X), \quad (2)$$

а М-подсхема реализует систему функций

$$Y=Y(Z). \quad (3)$$

Базисом для синтеза Р-подсхема являются ПЛМ или ПЛИС, для М-подсхемы - ПЗУ [2].

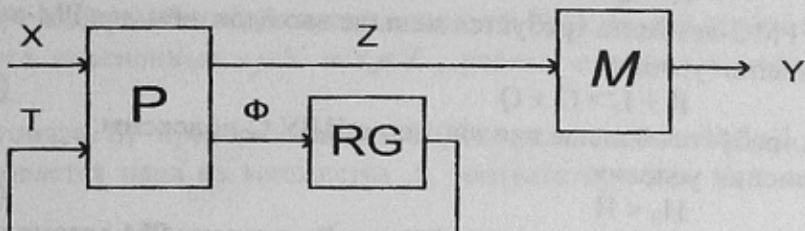


Рисунок 1 - Структурная схема РМ-автомата Мили

Недостаток РМ-автомата - необходимость формирования Q дополнительных переменных. Для устранения этого недостатка предлагается ввести преобразователь кодов (ПК), реализующий отображение $Z \rightarrow T$. Такой подход порождает структуру (Рис.2), называемую в дальнейшем РМС-автоматом.

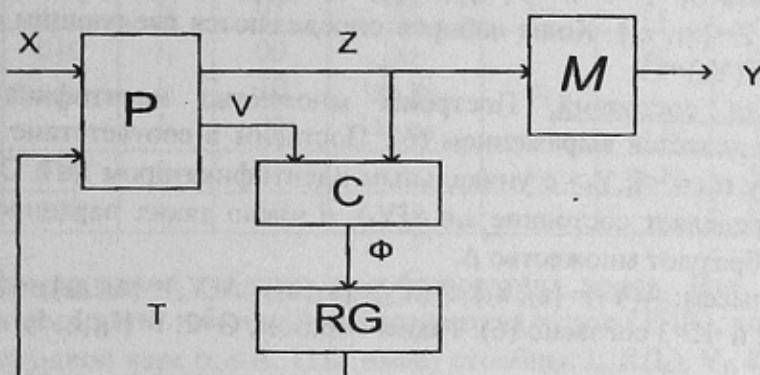


Рисунок 2 - Структурная схема РМС-автомата Мили

В РМС-автомате Р-подсхема реализует системы функций (2) и

$$V=V(T, X), \quad (4)$$

где $V=\{v_1, \dots, v_G\}$ - множество переменных, кодирующих идентификаторы $I_k \in I=\{I_1, \dots, I_K\}$, необходимые для идентификации кода $K(a_s)$ по коду $K(Y_t)$ при выполнении условия

$$m_f > 1 \quad (f=1, \dots, F). \quad (5)$$

Здесь m_f - мощность множества $A(Y_t) \subseteq A$ состояний, при переходе в которые формируется набор $Y_f \subseteq Y$, $G = \lceil \log_2 K \rceil$, где

$$K = \max(m_1, \dots, F) \quad (6)$$

Преобразователь кодов С реализует систему функций

$$\Phi = \Phi(V, Z), \quad (7)$$

а его схема строится на ПЛМ или ПЛИС. Число термов H_0 в системе функций (7) определяется как

$$H_0 = \sum_{f=1}^F m_f. \quad (8)$$

Отметим, что предельная величина для H_0 сверху определяется параметром H , а нижняя - F , достижимая при выполнении условия

$$m_f = 1 \quad (f=1, \dots, F). \quad (9)$$

Сокращение аппаратурных затрат по сравнению с РМ-автоматом определяется следующим:

1. При выполнении условия

$$R > G \quad (10)$$

в ПЛУ Р-подсхемы РМС-автомата требуется меньше выходов, чем для РМ-автомата.

2. При выполнении условия

$$R + L > G + Q \quad (11)$$

в ПЛУ Р-подсхемы требуется больше входов, чем в ПЛУ С-подсхемы.

3. При выполнении условия

$$H_0 < H \quad (12)$$

в ПЛУ С-подсхемы требуется меньше термов, чем в Р-подсхеме РМ-автомата.

В настоящей работе предлагается методика синтеза РМС-автомата, иллюстрируемая на примере синтеза автомата S_1 (Табл.1) и включающая следующие этапы:

1. Кодирование наборов микроопераций. Кодирование может быть выполнено произвольным образом, например, код $K(Y_f)$ определяется Q-разрядным двоичным эквивалентом числа ($f-1$).

Для автомата S_1 $F=4$ и $Y_1=\{y_1, y_2\}$, $Y_2=\{y_3\}$, $Y_3=\{y_2, y_4\}$, $Y_4=\{y_1, y_5\}$. Следовательно, $Q=2$ и $Z=\{z_1, z_2\}$. Коды наборов определяются следующим образом: $K(Y_1)=00$, $K(Y_2)=01$, ..., $K(Y_4)=11$.

2. Идентификация состояний. Построим множество идентификаторов I , мощность которого определяется выражением (6). Поставим в соответствие каждому состоянию $a_s \in A(Y_f)$ пару $\alpha_{sf} = \langle I_s, Y_f \rangle$ с уникальным идентификатором $I_s \in I$. Очевидно, пара α_{sf} однозначно определяет состояние $a_s \in A(Y_f)$, а число таких пар определяется выражением (8). Пары образуют множество Δ .

Для автомата S_1 имеем: $A(Y_1)=\{a_2, a_3\}$, $A(Y_2)=\{a_3, a_1\}$, $A(Y_3)=\{a_2, a_4\}$, $A(Y_4)=\{a_2, a_4\}$, $m_1=3$, $m_2=m_3=m_4=2$ и $K=3$ согласно (6). Таким образом, $G=2$, $I=\{I_1, I_2, I_3\}$.

Таблица 1.

Прямая структурная таблица МПА Мили S_1

| a_m | $K(a_m)$ | a_s | $K(a_s)$ | X_h | Y_h | Φ_h | h |
|-------|----------|-------|----------|-----------------------|-----------|-----------|-----|
| a_1 | 000 | a_2 | 001 | x_1 | $y_1 y_2$ | D_3 | 1 |
| | | a_3 | 010 | $\bar{x}_1 x_2$ | y_3 | D_2 | 2 |
| | | a_2 | 001 | $\bar{x}_1 \bar{x}_2$ | $y_2 y_4$ | D_3 | 3 |
| a_2 | 001 | a_3 | 010 | x_3 | $y_1 y_2$ | D_2 | 4 |
| | | a_4 | 011 | \bar{x}_3 | $y_2 y_4$ | $D_2 D_3$ | 5 |
| a_3 | 010 | a_1 | 000 | x_2 | y_3 | - | 6 |
| | | a_3 | 010 | $\bar{x}_2 x_3$ | $y_1 y_2$ | D_2 | 7 |
| | | a_4 | 011 | $\bar{x}_2 \bar{x}_3$ | $y_1 y_5$ | $D_2 D_3$ | 8 |
| a_4 | 011 | a_5 | 100 | 1 | $y_1 y_5$ | D_1 | 9 |
| a_5 | 100 | a_1 | 000 | 1 | $y_1 y_2$ | - | 10 |

Множество Δ включает пары $\alpha_{11} = \langle I_1, Y_1 \rangle$, $\alpha_{12} = \langle I_1, Y_2 \rangle$, $\alpha_{21} = \langle I_2, Y_1 \rangle$, $\alpha_{23} = \langle I_1, Y_3 \rangle$, $\alpha_{32} = \langle I_2, Y_2 \rangle$, $\alpha_{31} = \langle I_3, Y_1 \rangle$, $\alpha_{43} = \langle I_2, Y_3 \rangle$, $\alpha_{44} = \langle I_1, Y_4 \rangle$, $\alpha_{54} = \langle I_2, Y_4 \rangle$, $H_0=9$.

Поставим в соответствие каждому идентификатору $I_k \in I$ G-разрядный двоичный код $K(I_k)$, равный двоичному эквиваленту числа ($k-1$), и образуем множество V .

Для автомата S_1 $G=2$, $V=\{v_1, v_2\}$, $K(I_1)=00$, $K(I_2)=01$, $K(I_3)=10$.

3. Преобразование исходной ПСТ. Для синтеза систем (2) и (4) построим преобразованную ПСТ РМС-автомата. Для этого в исходной ПСТ столбцы a_s и $K(a_s)$ заменяются столбцами I_s и $K(I_s)$ соответственно, столбцы Y_h , Φ_h заменяются столбцами V_h и Z_h . В h -й строке этой таблицы записывается идентификатор I_s , соответствующий паре α_{sf} , где Y_f – набор МО из h -й строки исходной ПСТ. В h -й строке в столбцах V_h и Z_h записываются переменные $v_g \in V$ и $z_q \in Z$, равные единице в кодах $K(I_s)$ и $K(Y_f)$ соответственно.

Для автомата S_1 преобразованная ПСТ представлена Табл.2, в столбце α_{sf} которой записывается пара из множества Δ , соответствующая h -й строке исходной ПСТ.

Таблица 2.

Преобразованная ПСТ РМС-автомата S_1

| a_m | $K(a_m)$ | I_s | $K(I_s)$ | X_h | V_h | Z_h | h | α_{sf} |
|-------|----------|-------|----------|-----------------------|-------|-----------|-----|---------------|
| a_1 | 000 | I_2 | 01 | x_1 | v_2 | - | 1 | α_{21} |
| | | I_2 | 01 | $\bar{x}_1 x_2$ | v_2 | z_2 | 2 | α_{32} |
| | | I_1 | 00 | $\bar{x}_1 \bar{x}_2$ | - | z_1 | 3 | α_{23} |
| a_2 | 001 | I_3 | 10 | x_3 | v_1 | - | 4 | α_{31} |
| | | I_2 | 01 | x_3 | v_2 | z_1 | 5 | α_{43} |
| a_3 | 010 | I_1 | 00 | \underline{x}_2 | - | z_2 | 6 | α_{12} |
| | | I_3 | 10 | $\underline{x}_2 x_3$ | v_1 | - | 7 | α_{31} |
| | | I_1 | 00 | $x_2 x_3$ | - | $z_1 z_2$ | 8 | α_{44} |
| a_4 | 011 | I_2 | 01 | 1 | v_2 | $z_1 z_2$ | 9 | α_{54} |
| a_5 | 100 | I_1 | 00 | 1 | - | - | 10 | α_{11} |

4. Формирование таблицы преобразователя кодов. Для синтеза системы (7) предлагается построить таблицу преобразователя кодов (ТПК), каждая строка которой соответствует одной паре $\alpha_{sf} \in \Delta$. ТПК имеет столбцы: I_s , $K(I_s)$, Y_f , $K(Y_f)$, a_s , $K(a_s)$, Φ_h , h . В h -й строке ТПК ($h=1, \dots, H_0$) записывается $I_s = \gamma_1 \alpha_{sf}$, $Y_f = \gamma_2 \alpha_{sf}$ и функции $\phi_r \in \Phi$, принимающие единичное значение в коде $K(a_s)$.

Для автомата S_1 ТПК (Табл.3) имеет $H_0 = 9$ строк, в столбце α_{sf} записана пара, которой соответствует h -я строка.

Таблица 3.

Таблица преобразования кодов РМС-автомата S_1

| I_s | $K(I_s)$ | Y_f | $K(Y_f)$ | a_s | $K(a_s)$ | Φ_h | h | α_{sf} |
|-------|----------|-------|----------|-------|----------|-----------|-----|---------------|
| I_1 | 00 | Y_1 | 00 | a_1 | 000 | - | 1 | α_{11} |
| I_1 | 00 | Y_2 | 01 | a_1 | 000 | - | 2 | α_{12} |
| I_2 | 01 | Y_1 | 00 | a_2 | 001 | D_3 | 3 | α_{21} |
| I_1 | 00 | Y_3 | 10 | a_2 | 001 | D_3 | 4 | α_{23} |
| I_3 | 10 | Y_1 | 00 | a_3 | 010 | D_2 | 5 | α_{31} |
| I_2 | 01 | Y_2 | 01 | a_3 | 010 | D_2 | 6 | α_{32} |
| I_2 | 01 | Y_3 | 10 | a_4 | 011 | $D_2 D_3$ | 7 | α_{43} |
| I_1 | 00 | Y_4 | 11 | a_4 | 011 | $D_2 D_3$ | 8 | α_{44} |
| I_2 | 01 | Y_4 | 11 | a_5 | 100 | D_1 | 9 | α_{54} |

5. Формирование таблицы микроопераций. Для реализации на ПЗУ системы (3) необходимо построить таблицу микроопераций (ТМО), представляющую собой традиционную таблицу истинности системы булевых функций. В f -й строке ТМО записываются Y_f , $K(Y_f)$, $Y(Y_f)$, последний столбец содержит единицы для микроопераций $y_n \in Y_f$.

Для автомата S_1 ТМО (Табл.4) имеет $F=4$ строки.

Таблица 4.
Таблица микроопераций РМС-автомата S_1

| Y_f | $K(Y_f)$ | $Y(Y_f)$ | | | | | f |
|-------|----------|----------|-------|-------|-------|-------|-----|
| | | y_1 | y_2 | y_3 | y_4 | y_5 | |
| Y_1 | 00 | 1 | 1 | 0 | 0 | 0 | 1 |
| Y_2 | 01 | 0 | 0 | 1 | 0 | 0 | 2 |
| Y_3 | 10 | 0 | 1 | 0 | 1 | 0 | 3 |
| Y_4 | 11 | 1 | 0 | 0 | 0 | 1 | 4 |

6. Синтез логической схемы автомата. Синтез схемы РМС-автомата не представляет труда и сводится к известным методам синтеза логических схем на ПЛУ.

Заключение

Исследования авторов показали, что при выполнении условий (10) - (12) РМС-автоматы всегда требуют меньше аппаратурных затрат, чем РМ-автоматы. При этом наиболее важным является условие (11). Выигрыш растет по мере роста сложности автомата (рост параметров L , R , H) и уменьшения параметров ПЛУ, на которых строится схема. Максимальный выигрыш в числе БИС наблюдался при одновременном выполнении условий (10) - (12) и достигал 42%.

Литература

1. Соловьев В.В. Проектирование функциональных узлов цифровых систем на программируемых логических устройствах. - Минск: Бестпринт, 1996. – 252 с.
2. Скляров В.А. Синтез автоматов на матричных БИС. – Минск; Наука и техника, 1984. – 287 с.
3. Баркалов А.А., Палагин А.В. Синтез микропрограммных устройств управления. – Киев: ИК НАН Украины, 1997. – 135 с.
4. Баркалов А.А., Зеленева И.Я., Бабаков Р.М. Структуры логических схем управляющих автоматов на программируемых БИС // Научные работы работы ДонГТУ. Серия "Информатика, кибернетика и вычислительная техника". Вып.6.-Донецк: ДонГТУ, 1999г.-с.207-211.